

О стабильности взвешенного степенного перечислителя остовных деревьев

Павел Прозоров^а и Данила Черкашин^{а,б}

а. Санкт-Петербургский Государственный Университет, Россия

б. Институт Математики и Информатики Болгарской Академии Наук, София, Болгария

30 октября 2023 г.

Аннотация

Paper [3] shows that the (vertex) spanning tree degree enumerator polynomial of a connected graph G is a real stable polynomial (id est is non-zero if all variables have positive imaginary parts) if and only if G is distance-hereditary. In this note we generalize the result on weighted graphs.

This generalization allows us to define the class of weighted distance-hereditary graphs.

Аннотация

В статье [3] показано, что степенной (вершинный) перечислитель остовных деревьев связного графа G является вещественно-стабильным многочленом (то есть не обнуляется при подстановке переменных с положительными мнимыми частями) тогда и только тогда, когда G принадлежит классу дистанционно-наследуемых графов. В данной заметке мы обобщаем данный результат на взвешенные графы.

Полученное обобщение позволяет определить класс взвешенных дистанционно-наследуемых графов.

1 Введение

Определим верхнюю комплексную полуплоскость

$$\mathbb{H} := \{z \in \mathbb{C} \mid \Im(z) > 0\}.$$

Полином $P(x_1, x_2, \dots, x_n)$ с вещественными коэффициентами называется *вещественно стабильным*, если $P(z_1, z_2, \dots, z_n) \neq 0$ для любых $z_1, z_2, \dots, z_n \in \mathbb{H}$. Ясно, что ненулевой многочлен вида

$$a_1x_1 + a_2x_2 + \dots + a_nx_n, \quad a_i \in \mathbb{R}_+$$

является вещественно стабильным, и очевидно, что произведение двух вещественно стабильных многочленов есть вещественно стабильный многочлен. Следующее утверждение является широко известным, например, см. [7].

Утверждение 1. Пусть $P(x_1, x_2, \dots, x_n)$ — вещественно стабильный многочлен. Тогда следующие многочлены также являются стабильными или тождественным нулем

(i) $x_1^{d_1} P\left(-\frac{1}{x_1}, x_2, \dots, x_n\right)$, где d_1 — степень P по переменной x_1 ;

(ii) $\frac{\partial P}{\partial x_1}(x_1, x_2, \dots, x_n)$;

(iii) $Q(x_1, x_2, \dots, x_{n-1}) := P(x_1, x_2, \dots, x_{n-1}, a)$ при любом вещественном a .

Больше о стабильных многочленах и их применениях можно узнать в обзорах [7, 5] (также см. комментарии авторов в разделах 1 и 4 статьи [3]).

Пусть $G = (V, E)$ — конечный простой связный неориентированный граф, и пусть $|V| = n, |E| = k$. Пусть $N_G(v) = \{u \in V : vu \in E\}$ — окрестность вершины v , а $\deg_G(v)$ — степень вершины v в графе G . Для подмножества вершин $U \subset V$ определим *индуцированный подграф* $G[U]$ как граф, вершинами которого являются элементы U , а рёбра суть те рёбра графа G , оба конца которых лежат в U . Обозначим через $S(G)$ множество всех остовных деревьев графа G . Обозначим полный граф на n вершинах и полный двудольный

граф с долями размера n и m через K_n и $K_{n,m}$, соответственно. *Двусвязным* называется связный граф, остающийся связным при удалении любой вершины (и всех инцидентных ей рёбер).

Пронумеруем рёбра G числами от 1 до k , и каждому ребру $i = 1, \dots, k$ сопоставим переменную x_i . Определим *реберный остовный многочлен* графа G

$$Q_G(x_1, x_2, \dots, x_k) = \sum_{T \in S(G)} \prod_{j \in E(T)} x_j.$$

Как известно [4], многочлен Q_G является вещественно стабильным для любого конечного связного простого графа G , содержащего не меньше двух вершин. Можно пронумеровать вершины от 1 до n , также сопоставить им переменные x_1, \dots, x_n и определить *вершинный остовный многочлен*

$$P_G(x_1, x_2, \dots, x_n) = \sum_{T \in S(G)} \prod_{v \in V} x_v^{\deg_T(v)-1},$$

Этот многочлен не всегда является вещественно стабильным. Назовем *стабильными* графы, для которых многочлен P_G является вещественно стабильным. Назовем граф *дистанционно-наследуемым*, если для любого его связного индуцированного подграфа расстояние между любыми двумя вершинами в подграфе равно расстоянию между ними в исходном графе (более подробно о дистанционно-наследуемых графах см. в разделе 2). В статье [3] показано, что эти классы совпадают.

Теорема 1 (Петров – Прозоров – Черкашин [3]). *Стабильными графами являются в точности те графы, которые являются дистанционно-наследуемыми.*

В статье [3] приведены комбинаторная мотивация и приложения теоремы 1, а также сформулированы связанные открытые вопросы. Решению одного из них — получению классификации стабильных взвешенных графов — и посвящена эта статья.

Определим *взвешенный вершинный остовный многочлен* графа G с функцией весов w из $E(G)$ в \mathbb{R}

$$P_{G,w}(x_1, x_2, \dots, x_n) = \sum_{T \in S(G)} \prod_{e \in T} w(e) \prod_{v \in V} x_v^{\deg_T(v)-1}.$$

Назовем взвешенный граф (G, w) *стабильным*, если многочлен $P_{G,w}$ стабильный. Не умаляя общности, можно считать, что w не обращается в 0 (такие рёбра можно удалить).

В статье [3] показано, что можно считать w положительной функцией; мы повторим это рассуждение для полноты изложения. Если взвешенный граф не двусвязен, то можно менять знак w в каждой компоненте двусвязности: по лемме 3 нули многочлена $P_{G,w}$ зависят только от его редукций на компоненты двусвязности.

Лемма 1. *Если взвешенный двусвязный граф (G, w) стабилен, то w имеет фиксированный знак на всех ребрах G .*

Доказательство. Предположим противное. Тогда в графе есть два ребра разного знака. Тогда в силу связности есть два ребра, имеющих общий конец, разного знака. Пусть это вершина v , и ребра — vu_1 и vu_2 , и $w(vu_1) > 0 > w(vu_2)$. Заметим, что при подстановке $x_v = 0$ мы получим

$$P_{G \setminus v}(x_1, \dots, x_n) \cdot \left(\sum_{t \in N(v)} w(v, t) x_t \right).$$

Тогда оба этих многочлена не являются тождественным нулем (т.к. $G \setminus v$ связный), а значит они оба стабильны, но второй многочлен очевидно не является стабильным, потому что в него можно подставить все переменные, кроме x_{u_1}, x_{u_2} нулями, и он должен остаться стабильным, но при подстановке $x_{u_1} = -iw(vu_2)$, $x_{u_2} = iw(vu_1)$ он обращается в ноль. Противоречие. \square

Значит внутри каждой компоненты двусвязности знак одинаковый, и в каждой компоненте мы можем поменять знак, и это не повлияет на стабильность всего графа. Значит достаточно классифицировать графы, в которых все веса положительны (произвольный взвешенный граф стабилен тогда и только тогда, когда получается сменами знаков в компонентах двусвязности из взвешенного стабильного графа с положительными весами).

Далее везде будем считать все графы взвешенными, а все веса положительными, если не оговорено противное. Следующая теорема дает явную (проверяемую за полиномиальное время) характеризацию взвешенных стабильных графов.

Теорема 2. Взвешенно стабильными графами с положительной w являются в точности графы, получаемые из графа с одной вершиной путем копирования вершин, сохраняющих веса (с добавлением ребра произвольного положительного веса или без него), сочленений двух взвешенно-стабильных графов по вершине и умножений всех ребер из одной вершины на положительное число.

Отметим, что класс взвешенно-стабильных графов не сводится к классу стабильных графов с помощью операций домножения. Иллюстрирующим примером является полный граф на четырех вершинах, пять ребер которого единичного веса, а шестое имеет вес 2.

Структура статьи. В разделе 2 приводятся эквивалентные определения дистанционно-наследуемых графов, часть из которых мы используем. В разделе 3 доказывается основная теорема. В разделе 4 обсуждается связь полученного многочленного определения взвешенного дистанционно-наследуемого графа и других определений.

2 Дистанционно-наследуемые графы

Напомним, что дистанционно-наследуемый граф — это граф, у которого любой связный индуцированный подграф сохраняет расстояние между любыми двумя вершинами. Более подробно о дистанционно-наследуемых графах можно прочесть, например, в статье [1] и книге [2]. В частности, в этой книге даны следующие эквивалентные определения класса дистанционно-наследуемых графов:

- (i) Это графы, в которых любой порождённый путь является кратчайшим.
- (ii) Это графы, в которых любой цикл длины по меньшей мере пять имеет две или более диагоналей и в которых любой цикл длины в точности пять имеет по меньшей мере одну пару пересекающихся диагоналей.
- (iii) Это графы, в которых любой цикл длины пять и более имеет по меньшей мере одну пару пересекающихся диагоналей.
- (iv) Это графы, в которых для любых четырёх вершин u, v, w и x по меньшей мере две из трёх сумм расстояний $d(u, v) + d(w, x)$, $d(u, w) + d(v, x)$ и $d(u, x) + d(v, w)$ равны.
- (v) Это графы, в которых отсутствуют следующие индуцированные подграфы: цикл длины пять и более, изумруд, дом или домино (см. рис. 1).

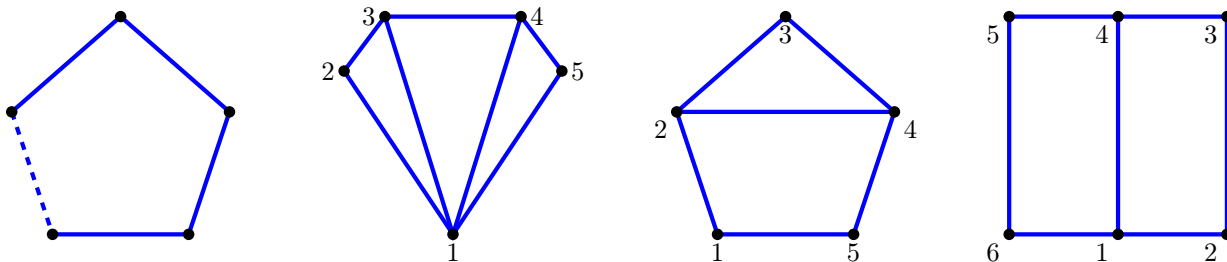


Рис. 1: Запрещенные индуцированные подграфы слева направо: длинный цикл, изумруд, дом и домино

- (vi) Это графы, которые могут быть созданы из одной вершины с помощью последовательности из следующих трёх операций:
 - Добавление новой висячей вершины, соединённой одним ребром с существующей вершиной графа.
 - Замена любой вершины графа парой вершин, каждая из которых имеет тех же соседей, что и удалённая вершина.
 - Замена любой вершины графа парой вершин, каждая из которых имеет тех же соседей, что и удалённая вершина, включая другую вершину из пары.

Отметим, что доказательство теоремы 1 основывалось на эквивалентности определений (v) и (vi). Доказательство теоремы 2 также использует определения (v) и (vi), а также идею, стоящую за определением (iv).

Еще одно алгебраическое определение появилось позднее в статье [6]. Мы подробно обсудим его в разделе 4.

3 Доказательство теоремы 2

Напомним, что по умолчанию все графы являются взвешенными с положительными весами.

3.1 Любой построенный граф является взвешенно-стабильным

Следующие леммы являются взвешенными обобщениями лемм из статьи [3].

Лемма 2 (о копировании). *Пусть дан взвешенный граф (G, w) на n вершинах. Рассмотрим взвешенный граф (G_1, w_1) , получаемый из графа (G, w) добавлением вершины v_{n+1} , соединением ее с вершинами из $N(v_n)$ ребрами, равными по весу ребрам из v_n , и с вершиной v_n ребром веса $p \geq 0$ (отметим, что случай $p = 0$ соответствует непроведению этого ребра). Тогда*

$$P_{(G_1, w_1)}(x_1, \dots, x_n, x_{n+1}) = P_{G, w}(x_1, \dots, x_n + x_{n+1}) \left(\sum_{t \in N(v_n)} w(tv_n)x_t + p(x_n + x_{n+1}) \right).$$

Доказательство. Рассуждения аналогичны случаю невзвешенных графов. Действительно, давайте заметим, что любое дерево в графе G устроено следующим образом — на всех вершинах кроме v_n берется некоторый лес, такой, что в каждой компоненте есть хотя бы одна вершина из $N_G(v_n)$, и потом вершина v_n соединяется с ровно одной вершиной из каждой компоненты. Обозначим за L множество всех таких лесов, за $t(K)$ — число компонент связности в лесу K , и назовем A_1, A_2, \dots, A_t пересечения множества $N_G(v)$ с компонентами связности леса K . Пусть

$$W(K) = \prod_{uv \in K} w(uv)x_u x_v.$$

Тогда из рассуждения выше

$$P_{G, w}(x_1, x_2, \dots, x_n) = \sum_{K \in L} \left(W(K) \prod_{i=1}^{t(K)} \left(\sum_{v \in A_i} w(v_n v)x_v \right) x_n^{t(K)-1} \right).$$

Теперь давайте смотреть на то, как устроены деревья в графе G_1 . Эти деревья делятся на те, которые не содержат ребро $v_n v_{n+1}$, и те, которые содержат его. Тогда пусть множество деревьев первого типа это S_1 , второго — S_2 . Тогда

$$\begin{aligned} P_{G_1, w_1}(x_1, \dots, x_{n+1}) &= \sum_{T \in S(G)} \prod_{e \in T} w(e) \prod_{v \in V} x_v^{\deg_T(v)-1} = \\ &= \sum_{T \in S_1} \prod_{e \in T} w(e) \prod_{v \in V} x_v^{\deg_T(v)-1} + \sum_{T \in S_2} \prod_{e \in T} w(e) \prod_{v \in V} x_v^{\deg_T(v)-1} = P_1(x_1, \dots, x_{n+1}) + P_2(x_1, \dots, x_{n+1}). \end{aligned}$$

Деревья в S_1 устроены следующим образом. Аналогично исходному графу мы рассматриваем лес, который содержит все вершины кроме v_n, v_{n+1} , и такой, что каждая его компонента содержит хотя бы одну вершину из $N_G(v_n)$, после чего соединяем одну из долей с обеими вершинами из v_n, v_{n+1} , а каждая из остальных $t(K) - 1$ долей — с ровно одной из этих вершин. Заметим, что с точки зрения веса дерева не важно, с какой из вершин v_n, v_{n+1} мы соединяем очередную вершину, потому что по построению $w(v_n t) = w_1(v_n t) = w_1(v_{n+1} t)$ для любого $t \in N(v_n)$. Тогда

$$\begin{aligned} P_1(x_1, \dots, x_{n+1}) &= \sum_{K \in L} \left(W(K) \sum_{i=1}^{t(K)} \left(\left(\sum_{v \in A_i} w(v_n v)x_v \right)^2 \prod_{j=1, j \neq i}^n \left(\sum_{v \in A_j} w(v_n v)x_v \right) (x_n + x_{n+1})^{t(K)-1} \right) \right) = \\ &= \sum_{K \in L} \left(W(K) \sum_{i=1}^{t(K)} \left(\left(\sum_{v \in A_v} w(v_n v)x_v \right) \prod_{j=1}^n \left(\sum_{v \in A_j} w(v_n v)x_v \right) (x_n + x_{n+1})^{t(K)-1} \right) \right) = \\ &= \left(\sum_{v \in N_G(v_n)} w(v_n v)x_v \right) \cdot \sum_{K \in L} \left(W(K) \prod_{j=1}^n \left(\sum_{v \in A_j} w(v_n v)x_v \right) (x_n + x_{n+1})^{t(K)-1} \right). \end{aligned}$$

Теперь видно, что второй множитель это $P_{G, w}(x_1, \dots, x_n + x_{n+1})$.

Давайте разбираться с деревьями из S_2 . Заметим, что они устроены так: мы снова берем лес с такими же условиями, каждую из долей соединяем с ровно одной из вершин v_n, v_{n+1} , и соединяем их между собой. Отметим, что снова не важно, с какой конкретно из них мы соединяем, причем по тем же причинам. Тогда

$$\begin{aligned} P_2(x_1, \dots, x_{n+1}) &= p \sum_{K \in L} \left(W(K) \prod_{i=1}^{t(K)} \left(\sum_{v \in A_i} w(v_n v) x_v \right) (x_n + x_{n+1})^{t(K)} \right) = \\ &= p(x_n + x_{n+1}) P_{G,w}(x_1, x_2, \dots, x_n + x_{n+1}). \end{aligned}$$

Отметим, что p в начале берется из рассматриваемого ребра $v_n v_{n+1}$, а множители x_n и x_{n+1} сокращаются с -1 в степенях вхождения переменных. Тогда получается, что

$$\begin{aligned} P_{G_1, w_1}(x_1, \dots, x_{n+1}) &= P_1(x_1, \dots, x_{n+1}) + P_2(x_1, \dots, x_{n+1}) = \\ &= P_{G,w}(x_1, \dots, x_n) \left(\sum_{v \in N(v_n)} w(v_n v) x_v \right) + P_{G,w}(x_1, \dots, x_n) \cdot (px_n + px_{n+1}) = \\ &= P_{G,w} \left(\sum_{v \in N(v_n)} w(v_n v) x_v + p(x_n + px_{n+1}) \right). \end{aligned}$$

□

Лемма 3 (о точках сочленения). Пусть дан взвешенный граф G , имеющий точку сочленения v , и пусть множество вершин графа G после удаления v распадается на компоненты связности с множествами вершин V_1, V_2, \dots, V_k . Положим $G_i = G[V_i \cup \{v\}]$. Тогда

$$P_G(x_1, x_2, \dots, x_n) = \prod_{i=1}^k P_{G_i} x_v^{k-1},$$

где в P_{G_i} подставляются переменные, соответствующие вершинам, принадлежащим G_i .

Доказательство. Очевидно, что каждое остовное дерево в графе G однозначно соответствует набору остовных деревьев в $\{G_i\}$, а степень вершины v это в точности сумма её степеней в остовных деревьях G_i , что соответствует умножению многочленов. □

Лемма 4 (о домножении). Пусть $P_{G,w}$ — стабильный многочлен взвешенного графа G . Тогда домножение всех ребер, инцидентных некоторой вершине v , на вещественное $c > 0$ не меняет взвешенную стабильность G .

Доказательство. Новый многочлен будет стабильным тогда же, когда и старый, поскольку домножение соответствует замене переменной x_v в v , на cx_v :

$$P_{ne w(v,c)}(x_1, x_2, \dots, x_v, \dots, x_n) = \frac{P(x_1, \dots, cx_v, \dots, x_n)}{c},$$

и $cx_v \in \mathbb{H}$ тогда и только тогда, когда $x_v \in \mathbb{H}$. □

3.2 Любой взвешенно-стабильный граф получается операциями

По лемме 4 мы можем домножать все ребра вокруг одной вершины на положительную константу, приводя весовую функцию к удобному виду.

Лемма 5. Пусть для некоторого графа G и функции весов на нем w многочлен $P_{G,w}$ стабильный. Тогда G стабильный как невзвешенный граф.

Доказательство. Предположим противное. Тогда G не является стабильным как невзвешенный граф, то есть по теореме 1 не является дистанционно-наследуемым, значит по эквивалентному определению (v) G содержит длинный цикл, домино, дом или самоцвет как индуцированный подграф. Разберем эти случаи, и покажем, что в каждом из них путем нескольких операций домножения всех ребер, инцидентных вершине на положительное число можно сделать веса на индуцированном подграфе единичными. Лемма 4 и утверждение 1 (iii) дают противоречие.

Циклы. Цикл длины пять сводится к циклу, в котором все ребра имеют веса 1 при помощи операций домножения. Рассмотрим цикл длины хотя бы шесть, не имеющих хорд. Домножим во всех вершинах кроме одной последовательно, так, чтобы веса всех ребер, кроме одного, стали 1. Если последнее ребро это v_1v_n , то вес всех деревьев, кроме того, которое получается при удалении v_1v_n это $w(v_1v_n)$. Тогда можно просто переписать доказательство для обычного цикла без весов, потому что слагаемое, которое отличается, все равно в нашей подстановке оказывается нулем.

Домино. Пусть ребро, не входящее в цикл $v_1v_2 \dots v_6v_1$, это v_1v_4 (см. рис. 1). Последовательными применяя лемму 4, добьемся равенств

$$1 = w(v_2v_1) = w(v_1v_6) = w(v_6v_5) = w(v_5v_4) = w(v_4v_3).$$

Тогда рассмотрев набор v_1, v_6, v_5, v_4 получим, что $w(v_4v_1) = 1$; аналогично для набора $v_2v_1v_5v_3$ имеем, что $w(v_2v_3) = 1$. Получилось обычное (невзвешенное) домино, а оно нестабильно.

Дом. Применим лемму 4 так, чтобы ребра цикла получили вес 1. Теперь рассмотрим подграф C_4 , образованный вершинами $v_1v_2v_4v_5$.

Покажем, что в стабильном C_4 можно нормировками сделать все веса равными. Давайте за три нормировки сделаем веса всех ребер, кроме одного, единицами. Необходимо показать, что последнее ребро (пусть это v_4v_1) имеет вес 1. При этом наш многочлен это

$$x_2x_3 + w(v_1v_4)(x_1x_2 + x_3x_4 + x_1x_4).$$

Пусть $w(v_1v_4) = \frac{1}{t}$, тогда наш многочлен это

$$\frac{1}{t}(tx_2x_3 + x_1x_2 + x_3x_4 + x_1x_4).$$

Если $t > 1$, то рассмотрим подстановку $x_3 = x_4 = 1$. Тогда получится, что

$$x_2(tx_1 + 1) + x_1 + 1 = 0.$$

Но у этого многочлена есть корень

$$x_1 = i, \quad x_2 = \frac{-(1+i)(1-ti)}{t^2+1} = \frac{-(t+1) + (t-1)i}{t^2+1},$$

что противоречит стабильности. Второй случай ($t < 1$) разбирается аналогично. Получилось, что $t = 1$, что мы и хотели.

Значит перед нами невзвешенный дом, а он не стабилен.

Самоцвет. Обозначим v вершину степени 4. Давайте отнормируем так, чтобы все веса всех ребер, инцидентных v стали 1. Тогда оставшиеся три ребра одинаковые, а значит если рассмотреть индуцированный граф на множестве вершин без v , получится, что эти одинаковые ребра имеют вес 1, то есть перед нами обычный самоцвет (потому что получается, что в множестве $\{x, x^2, 0\}$ есть два равных числа, и $x \neq 0$). Но обычный самоцвет нестабилен. □

Вернемся к доказательству теоремы 2. Заметим, что если граф G не двусвязен, то достаточно доказать утверждение теоремы для каждой компоненты двусвязности.

Назовем пару вершин x_1 и x_2 *стягиваемой*, если их окрестности в графе G совпадают (возможно по модулю них самих) и отношение

$$\frac{w(vx_1)}{w(vx_2)}$$

одинаковое для всех вершин v , соединенных с x_1 и x_2 . Заметим, что домножение весов всех ребер, инцидентных вершине, на положительную константу не меняет множество стягиваемых пар графа. В доказательстве мы будем часто пользоваться этим свойством, применяя лемму 4.

Мы докажем по индукции следующее, несколько более сильное, утверждение.

Утверждение 2. Пусть для некоторого двусвязного графа G на хотя бы четырех вершинах и функции весов на нем w многочлен $P_{G,w}$ стабильный. Тогда в G найдутся хотя бы две непересекающиеся стягиваемые пары.

3.3 База для четырех вершин

Двусвязные графы на четырех вершинах это полный граф K_4 , цикл C_4 и цикл с диагональю C_4^+ .

Случай C_4 разобран при рассмотрении дома в предыдущем разделе.

Случай K_4 . Путем домножений в вершинах 1, 2 и 3 можно добиться того, чтобы ребра из вершины 4 имели единичный вес. По лемме 4 данные операции не влияют на свойство стабильности графа. Обозначим $e_1 = w(2, 3)$, $e_2 = w(1, 3)$, $e_3 = w(1, 2)$. В новых обозначениях

$$P_{K_4, w} = x_4^2 + x_4(x_1(e_2 + e_3) + x_2(e_1 + e_3) + x_3(e_1 + e_2)) + (x_1 + x_2 + x_3)(x_1e_2e_3 + x_2e_1e_3 + x_3e_1e_2).$$

Выражение является квадратичным относительно переменной x_4 , а значит при любой вещественной подстановке x_1, x_2, x_3 дискриминант D соответствующего квадратного трехчлена хотя бы 0. Имеем

$$0 \leq (x_1(e_2 + e_3) + x_2(e_1 + e_3) + x_3(e_1 + e_2))^2 - 4(x_1 + x_2 + x_3)(x_1e_2e_3 + x_2e_1e_3 + x_3e_1e_2) =$$

$$= x_1^2(e_2 - e_3)^2 + x_2^2(e_3 - e_1)^2 + x_3^2(e_1 - e_2)^2 - 2x_1x_2(e_2 - e_3)(e_3 - e_1) - 2x_2x_3(e_3 - e_1)(e_1 - e_2) - 2x_3x_1(e_1 - e_2)(e_2 - e_3)$$

при любых вещественных x_1, x_2, x_3 . Если никакие две переменные из e_1, e_2, e_3 не совпали, то мы можем подставить

$$x_1 = \frac{1}{e_2 - e_3}, x_2 = \frac{1}{e_3 - e_1}, x_3 = \frac{1}{e_1 - e_2},$$

что дает $D = -3$. Это противоречит неотрицательности дискриминанта. Значит из трех величин e_1, e_2, e_3 какие-то две совпали, что влечет совпадение каких-то двух произведений противоположных ребер. Утверждение для K_4 доказано.

Случай C_4^+ аналогичен предыдущему, если подставить $e_1 = 0$.

3.4 Переход

Лемма 6. Пусть G и w — граф и функция весов на нем. Пусть также в G найдутся два индуцированных подграфа G_1, G_2 , в объединении покрывающие G , и некоторые три вершины x_1, x_2, y , принадлежащие обоим подграфам, а так же в G (а значит и в G_1 и в G_2) есть ребра x_1y и x_2y , и пара x_1x_2 стягиваема и в G_1 , и в G_2 . Тогда пара x_1x_2 стягиваема и в G .

Доказательство. Поскольку подграфы G_1 и G_2 содержат все вершины G , вершины x_1 и x_2 графски эквивалентны в G . Рассмотрим произвольную вершину v , соединенную с x_1 и x_2 ; для нее выполняется

$$\frac{w(vx_1)}{w(vx_2)} = \frac{w(yx_1)}{w(yx_2)},$$

так как v принадлежат G_1 или G_2 , а в них пара x_1x_2 стягиваема. Таким образом, отношение $\frac{w(vx_1)}{w(vx_2)}$ не зависит от выбора v . \square

Пусть G — граф, и w — весовая функция на нем, такие что $P_{G, w}$ — стабильный. По лемме 5 и теореме 1 граф G — дистанционно-наследуемый. По определению (vi) класса дистанционно-наследуемых графов G можно построить путем копирования и добавления висячих вершин, и в силу двусвязности G последней операцией было копирование. Это значит, что в графе G есть вершины v и v' , такие, что их окрестности совпадают (по модулю самих вершин v и v'), то есть

$$N_G(v) \setminus \{v\} = N_G(v') \setminus \{v\}.$$

Рассмотрим взвешенный граф $H = G[V \setminus \{v'\}]$. По утверждению 1(iii) и из-за двусвязности G , граф H — взвешенно-стабильный, так как удаление v' соответствует подстановке $x_{v'} = 0$.

Случай недвусвязного H . Двусвязность G влечет, что в H не более одной вершины сочленения, и эта вершина это v . Тогда давайте докажем, что v и v' стягиваемы в G с учетом веса. Действительно, пусть окрестности v в разных компонентах двусвязности H это A_1, A_2, \dots, A_k . Напомним, что операция домножения не влияет на условие стягиваемости вершин и отнормируем все так, чтобы все ребра инцидентные v , кроме, возможно, ребра из v' , имели вес 1. Покажем, что все веса для вершины v' , кроме, возможно, $w(vv')$, равны между собой. Для этого достаточно показать, что для произвольных смежных с v и v' вершин $x \in A_i, y \in A_j, i \neq j$ верно равенство $w(v'x) = w(v'y)$. Для этого рассмотрим четверку v, v', x, y . Тогда в силу того, что x и y в разных компонентах двусвязности, G не содержит ребра xy , а значит эта четверка это либо C_4 , либо C_4^+ . Оба случая рассмотрены в базе и в них стягиваемые пары это vv' и xy . Из стягиваемости пары xy следует нужное нам равенство. Таким образом для недвусвязных H одну стягиваемую пару в G мы нашли.

Пусть компоненты двусвязности в H это $H_1, H_2, \dots, H_m, m \geq 2$ (они все содержат v). Тогда рассмотрим следующие случаи:

- Существует такое k , что $|H_k| \geq 4$. Тогда поскольку $|H_k| < |H|$ из предположения индукции следует, что в H_k есть две непересекающиеся стягиваемые пары, тогда одна из них не содержит v , значит она стягиваема и в G . Действительно, они остались одинаковыми с точки зрения графа, и даже если при копировании появилась новая вершина в окрестности, то это только v' , и в силу того, что vv' — стягиваемая пара в G , по лемме 2 вершина v' не портит взвешенную стабильность.
- Найдется такое k , что $|H_k| = 3$. Тогда H_k — цикл vu_1u_2 на трех вершинах, то есть вершины u_1 и u_2 имеют совпадающую окрестность (за исключением друг друга), состоящую из единственной вершины v . То есть u_1u_2 — стягиваемая пара в H_k , а значит в H и G по тем же причинам.
- Каждый из графов H_k содержит ровно две вершины, то есть каждое H_i является ребром; обозначим его $u_i v$. Тогда в G есть стягиваемая пара u_1u_2 , потому что у них совпадают окрестности — это вершины v, v' , и $\frac{w(u_1v)}{w(u_2v)} = \frac{w(u_1v')}{w(u_2v')}$ в силу стягиваемости vv' в G .

Таким образом, если граф H получился не двусвязным, то теорема доказана.

Случай двусвязного H значительно труднее.

Лемма 7. Утверждение 2 справедливо для полного взвешенного графа G и функции весов w на нем.

Доказательство. Несложно видеть, что все графы на не более чем трех вершинах являются стабильными. Оставшееся доказательство является индуктивным, где база для четырех вершин доказана в разделе 3.3.

Переход. Предположим, противное, тогда G содержит не более одной стягиваемой пары.

Разберем случай, когда G вообще не содержит стягиваемых пар. Давайте удалим произвольную вершину x . По утверждению 1(iii) оставшийся взвешенный полный граф F является вещественно-стабильным, значит по предположению индукции в F есть две непересекающиеся стягиваемые пары, пусть это v_1v_2 и u_1u_2 . Применим несколько раз лемму 4, так чтобы $w(u_1u_2) = w(v_1u_2) = w(v_1u_1) = w(v_2u_2) = 1$ (для этого нужно сначала приравнять за три нормировки веса ребер, ведущих в u_2 , а потом приравнять к ним вес в оставшемся ребре за счет нормировки в u_2). Тогда $w(v_2u_1) = 1$ за счет стягиваемости пары u_1u_2 в F .

Получаем, что для любой вершины q , которую мы еще не рассмотрели, стягиваемость пар u_1u_2 и v_1v_2 в графе F влечет $w(qu_1) = w(qu_2)$ и $w(qv_1) = w(qv_2)$.

Мы предположили, что в исходном графе ни одна из пар u_1u_2 и v_1v_2 не стягивается, а значит $w(xv_1) \neq w(xv_2)$ и $w(xu_1) \neq w(xu_2)$. Рассмотрим графы $G[\{x, v_1, u_1, u_2\}]$ и $G[\{x, v_2, u_1, u_2\}]$. Они стабильные, а значит из трех чисел $w(xv_1), w(xu_1), w(xu_2)$ есть два равных, и из $w(xv_2), w(xu_1), w(xu_2)$ тоже. Тогда получается, что либо $w(xv_1) = w(xu_1)$ и $w(xv_2) = w(xu_2)$, либо $w(xv_1) = w(xu_2)$ и $w(xv_2) = w(xu_1)$. Не умаляя общности, можно считать, что мы имеем дело с первым случаем.

Давайте покажем, что $w(v_1v_2) = 1$. Предположим, что $w(v_1v_2) = t \neq 1$, и пускай $w(xv_1) = w(xu_1) = a$ и $w(xv_2) = w(xu_2) = b$. Рассматривая графы $G[\{x, v_1, v_2, u_1\}]$ и $G[\{x, v_1, v_2, u_2\}]$ имеем, что среди b, a, at есть равная пара, и среди a, b, bt есть равная пара. Но заметим, что поскольку $a \neq b$ и $t \neq 1$, получается, что $a = bt$ и $b = at$. Но так не бывает. Противоречие, значит $w(v_1v_2) = 1$.

Тогда заметим, что поскольку в нашем графе нельзя стянуть u_1v_1 , есть вершина y , для которой $w(yu_1) \neq w(yv_1)$. Тогда y это новая вершина, потому что для x, v_2, u_2 эти веса равны. Тогда мы знаем, что $w(yv_1) = w(yv_2)$ и $w(yu_1) = w(yu_2)$.

Применяя лемму 4 в вершинах x и y так, чтобы $w(xv_1) = w(xu_1) = 1$ и $w(yu_1) = w(yu_2) = 1$. Тогда все веса зависят от трех переменных: $a = w(xv_2) = w(xu_2)$, $b = w(yv_1) = w(yv_2)$, $c = w(xy)$, и также мы знаем,

что $a, b \neq 1$. Рассматривая индуцированные подграфы на всевозможных четверках вершин, состоящих из x, y и еще двух вершин из $\{u_1, v_1, u_2, v_2\}$, получаем, что в каждом из следующих мультимножеств есть равные числа:

$$\{a, c, 1\}, \{b, c, 1\}, \{a, b, c\}, \{1, ab, c\}, \{c, a, ab\}, \{c, b, ab\}.$$

Из первых двух множеств имеем, что либо $c = 1$, либо $a = b = c$. В первом случае из третьего мультимножества имеем, что $a = b$, и тогда пятое мультимножество $\{a, a^2, 1\}$ содержит два равных числа. Во втором случае четвертого мультимножества $\{1, a, a^2\}$ содержит два равных числа. В обоих случаях мы получаем противоречие, так как $a \notin \{0, 1\}$.

Осталось рассмотреть случай, когда G содержит ровно одну стягиваемую пара v_1v_2 . Применяя лемму 4, отнормируем ребра инцидентные v_2 , так, чтобы $w(uv_2) = w(uv_1)$ для какой-нибудь вершины u . Тогда $w(uv_2) = w(uv_1)$ для любой вершины u , потому что пара v_1v_2 стягиваемая. По предположению индукции в графе $G[V \setminus \{v_2\}]$ отыщутся две непересекающиеся стягиваемые пары, а значит одна из них не содержит v_1 . Пусть эта пара это u_1u_2 . Тогда заметим, что она стягиваема и в исходном графе, потому что значение $\frac{w(u_1x)}{w(u_2x)}$ одинаковое при всех $x \neq v_1$, а также совпадает при $x = v_1$ и $x = v_2$. Тогда мы нашли две непересекающиеся стягиваемые пары в графе G , как и хотели. \square

Перейдем к произвольному G . Сначала найдем в G одну стягиваемую пару.

Поскольку H двусвязный, к нему применимо предположение индукции, то есть в H найдутся две непересекающиеся стягиваемые пары x_1x_2 и y_1y_2 . Тогда вершина v либо принадлежит одной из этих пар, либо не принадлежит.

Случай 1. Вершина v не принадлежит ни одной из двух выделенных стягиваемых пар H . Поскольку $N_G(v) \setminus \{v'\} = N_G(v') \setminus \{v\}$ и $N_H(x_1) \setminus \{x_2\} = N_H(x_2) \setminus \{x_1\}$, ребра x_1v, x_1v', x_2v, x_2v' либо все есть в G , либо ни одного из них нет в G . Если их всех нет, то стягиваемость x_1x_2 в H влечет стягиваемость в G и искомая пара найдена. В оставшемся случае G содержит эти четыре ребра, и аналогично все ребра y_1v, y_1v', y_2v, y_2v' также есть в G . Если G не содержит ребра vv' , то база для графа $G[\{x_1, x_2, v, v'\}]$ дает стягиваемые пары x_1x_2 и vv' , потому что на этой четверке вершин есть цикл, и нет ребра vv' ; и тогда по лемме 6 пара x_1x_2 стягиваема в G . Аналогично, рассматривая графы $G[\{x_1, x_2, v, v'\}]$ и $G[\{y_1, y_2, v, v'\}]$, получаем, что ребра x_1x_2 и y_1y_2 есть в G .

Теперь покажем, что G содержит все ребра вида x_iy_j , $i, j \in \{1, 2\}$. Аналогично предыдущему абзацу G содержит либо их все, либо ни одного из них. Предположим, что данных ребер нет, и рассмотрим граф $G[\{v, v', x_i, y_j\}]$. В нем есть цикл на всех вершинах, и нет ребра x_iy_j , а значит в нем стягиваемы пары vv' и x_iy_j . Применяя определение стягиваемости, получаем

$$\frac{w(vx_i)}{w(v'y_i)} = \frac{w(vy_j)}{w(v'y_j)}$$

для $i = 1, j = 1, 2$ получаем, что y_1y_2 является стягиваемой парой в $G[\{vv'y_1y_2\}]$, из чего по лемме 6 пара y_1y_2 стягиваема в G . Значит все ребра вида x_iy_j есть в G .

Тогда граф $F = G[\{x_1, x_2, y_1, y_2, v'\}]$ полный, а значит по лемме 7 в нем есть две непересекающиеся стягиваемые пары. Тогда если одна из этих пар содержит v' , то, не умаляя общности, это пара $v'x_1$, тогда $\frac{w(x_1y_1)}{w(v'y_1)} = \frac{w(x_1y_2)}{w(v'y_2)}$, откуда $\frac{w(x_1y_1)}{w(x_1y_2)} = \frac{w(v'y_1)}{w(v'y_2)}$, а значит пара y_1y_2 стягиваема в G . Значит в F стягиваемы две непересекающиеся пары из множества $\{x_1, x_2, y_1, y_2\}$. Если это пары x_1x_2 и y_1y_2 , то $\frac{w(x_1y_1)}{w(x_2y_1)} = \frac{w(x_1v')}{w(x_2v')}$, и пара x_1x_2 стягиваема в G , что завершило бы разбор случая 1. Не умаляя общности, осталась ситуация, в которой стягиваемыми парами в F являются x_1y_1 и x_2y_2 . Тогда в графе $G[\{x_1, x_2, y_1, y_2\}]$ есть четыре стягиваемые пары вершин, а значит, применяя лемму 4, отнормируем веса так, чтобы все шесть ребер среди этих четырех вершин имели вес 1. Из стягиваемости пар x_1x_2 и y_1y_2 в H для любой вершины $u \notin \{v', x_1, x_2\}$ ребра ux_1 и ux_2 либо оба отсутствуют в G , либо оба есть в G , и тогда $w(ux_1) = w(ux_2)$ и для любой вершины $u \notin \{v', x_1, x_2\}$ ребра uy_1 и uy_2 либо оба отсутствуют в G , либо оба есть в G , и тогда $w(uy_1) = w(uy_2)$. Также из стягиваемости пар x_1y_1 и x_2y_2 в F следуют равенства $w(v'y_1) = w(v'x_1)$ и $w(v'y_2) = w(v'x_2)$.

Поскольку x_1x_2 и y_1y_2 не являются стягиваемыми в G , $w(v'x_1) \neq w(v'x_2)$. Рассмотрим пару x_1y_1 . Она не стягиваема в G , следовательно либо найдется вершина $u \in (N_G(x_1) \Delta N_G(y_1)) \setminus \{x_1, y_1\}$, либо найдется вершина $z \in N_G(x_1) \cap N_G(y_1)$, такая что $w(zx_1) \neq w(zy_1)$ (учитывая нормировку из прошлого абзаца, делающую веса в подграфе $G[\{x_1, x_2, y_1, y_2\}]$ единичными).

В первом варианте, не умаляя общности, $ux_1 \in E, uy_1 \notin E$. Тогда в силу $N_H(x_1) \setminus \{x_2\} = N_H(x_2) \setminus \{x_1\}$ имеем $ux_2 \in E, uy_2 \notin E$. Тогда заметим, что если в графе G нет ребра uv' , то в графе $G[\{v', x_1, x_2, u\}]$ есть цикл, и нет ребра uv' , а значит стягиваемая пара это x_1x_2 , но это противоречит тому, что $w(x_1u) = w(x_2u)$ (т.к. $w(y_1x_1) = w(y_1x_2)$ и x_1x_2 стягиваемо в H) и $w(v'x_1) \neq w(v'x_2)$. Значит ребро uv' принадлежит G . Тогда нужно посмотреть на графы $G[\{u, v', x_1, y_1\}]$ и $G[\{u, v', x_1, y_2\}]$. В каждом из них стягиваемая пара это $v'x_1$, потому что есть цикл и нет ребра uy_j . Мы получили противоречие, поскольку

$$w(y_1v') = \frac{w(y_1v')}{w(y_1x_1)} = \frac{w(uv')}{w(ux_1)} = \frac{w(y_2v')}{w(y_2x_1)} = w(y_2v').$$

Во втором варианте ребра zx_2, zy_2 тоже есть в G , и их веса равны соответственно $w(zx_1)$ и $w(zy_1)$, потому что $z \neq v'$, а значит $z \in H$. Также $z \notin \{x_1, x_2, y_1, y_2, v'\}$. Домножим все ребра, инцидентные вершинам v' и z так, чтобы $w(v'x_1) = w(zx_1) = 1$ (это не меняет веса внутри $G[\{x_1, x_2, y_1, y_2\}]$), что влечет $w(v'y_1) = w(zx_2) = 1$. Положим $a = w(zy_1) = w(zy_2)$, и $b = w(v'x_2) = w(v'y_2)$. Определение z влечет $a \neq 1$, а нестягиваемость x_1 и x_2 в G дает $b \neq 1$. Заметим, что если в G нет ребра zv' , то в графе $G[\{x_1, x_2, v', z\}]$ есть пять ребер из шести, а значит пара $v'z$ должна быть стягиваема в этом графе, но $w(x_1z) = 1 = w(x_2z)$, а $w(x_2v') = b \neq 1 = w(x_1v')$. Противоречие, значит в G есть ребро zv' . Тогда к графу $J = G[\{x_1, x_2, y_1, y_2, z, v'\}]$ применима лемма 7 и в нем есть две стягиваемые пары. Ни одна из пар внутри множества $U := \{x_1, x_2, y_1, y_2\}$ не стягиваема, потому что у любой пары, кроме x_1x_2 и y_1y_2 разные веса на ребрах к вершине z , а у пар x_1x_2 и y_1y_2 разные веса на ребрах к вершине v' . Тогда каждая из стягиваемых пар в J содержит по вершине не из U , значит одна из них $v't$, где $t \in U$. Тогда t не принадлежит какой-то из пар x_1x_2, y_1y_2 (не умаляя общности, x_1x_2), и тогда рассмотрение индуцированного подграфа $G[\{t, v', x_1, x_2\}]$ дает стягиваемые в нем пары $v't$ и x_1x_2 , а значит по лемме 6 пара x_1x_2 была стягиваема и в G . Получается, что со случаем, когда v не принадлежит ни одной стягиваемых пар в H мы разобрались.

Случай 2. Теперь пусть v принадлежит одной из пар x_1x_2 и y_1y_2 ; не умаляя общности, $v = x_1$. Напомним, что по определению $N_G(v) \setminus \{v'\} = N_G(v') \setminus \{v\}$, а также $N_H(x_1) \setminus \{x_2\} = N_H(x_2) \setminus \{x_1\}$ и $N_H(y_1) \setminus \{y_2\} = N_H(y_2) \setminus \{y_1\}$. Тогда следующие шесть ребер либо все есть в G , либо их всех нет: $x_1y_1, x_1y_2, x_2y_1, x_2y_2, v'y_1, v'y_2$. Если их всех нет, то пара y_1y_2 стягиваема в G .

Остался случай, когда все эти ребра есть. Рассматривая графы $G[\{x_1, v', y_1, y_2\}]$ и $G[\{x_2, v', y_1, y_2\}]$, мы видим, что либо в них стягиваема пара y_1y_2 (а тогда она по лемме 6 стягиваема в G), либо в G есть ребра $v'x_1, v'x_2$ и y_1y_2 . Аналогично, глядя на граф $G[\{v', x_1, x_2, y_1\}]$, мы видим, что либо ребро x_1x_2 есть в G , либо x_1x_2 — стягиваемая пара. Таким образом если мы не нашли стягиваемую пару, то подграф $G[\{x_1, x_2, y_1, y_2, v'\}]$ полный, а значит по лемме 7 в нем стягиваемы две непересекающиеся пары вершин. Тогда одна из них не содержит v' , и при этом она не равна x_1x_2 и y_1y_2 , потому что в таком случае эта пара была бы стягиваема в G по лемме 6. Более того, ни одна из этих пар не содержит v' , потому что иначе можно рассмотреть индуцированный граф на этой паре и непересекающейся с ней паре из x_1x_2, y_1y_2 ; тогда соответствующая пара из x_1x_2, y_1y_2 окажется стягиваемой в G по лемме 6.

Не умаляя общности, осталась ситуация, когда стягиваемыми парами в $G[\{x_1, x_2, y_1, y_2, v'\}]$ являются x_1y_1 и x_2y_2 . Дальнейшие рассуждения совпадают с окончанием разбора случая 1: лемма 4 позволяет за счет четырех стягиваемых пар в $G[\{x_1, x_2, y_1, y_2\}]$ добиться единичных весов внутри $G[\{x_1, x_2, y_1, y_2\}]$, а последующее домножение всех ребер, инцидентных вершине v' , дает $1 = w(v'x_1) = w(v'y_1)$ и $a = w(v'x_2) = w(v'y_2) \neq 1$. Пара y_1 и x_1 не стягиваема в G , значит существует вершина z , которая их различает эти вершины. Тогда либо $z \in (N_G(x_1) \Delta N_G(y_1)) \setminus \{x_1, y_1\}$, либо $z \in N_G(x_1) \cap N_G(y_1)$ и $w(zx_1) \neq w(zy_1)$.

Предположим, что она делает это графски. Есть два подслучая, в первом z соединена с x_1, x_2, v' ; рассмотрим графы $G[\{z, v', x_1, y_1\}]$ и $G[\{z, v', x_1, y_2\}]$. В них стягиваемыми парами являются zx_1 и $v'y_i$, а тогда

$$w(y_1v') = \frac{w(y_1v')}{w(y_1x_1)} = \frac{w(zv')}{w(zx_1)} = \frac{w(y_2v')}{w(y_2x_1)} = w(y_2v'),$$

и y_1y_2 стягиваема в G . Во втором подслучае, z соединена с y_1, y_2 , и тогда рассмотрим граф $G[\{z, v', y_2, y_1\}]$. В нем нет ребра $v'z$, а значит в этом графе пары $v'z$ и y_1y_2 стягиваемы. По лемме 6 y_1y_2 стягиваема во всем G .

Во втором варианте $z \notin \{x_1, x_2, y_1, y_2, v'\}$ и в G существуют все ребра, ведущие из z в уже рассмотренную пятёрку вершин $x_1x_2y_1y_2v'$, то есть к графу $G[\{x_1, x_2, y_1, y_2, v', z\}]$ применима лемма 7.

Завершение доказательства. В обоих случаях мы нашли стягиваемую пару xu в G . Давайте вернемся в начало доказательства и рассмотрим эту пару в качестве пары vv' , а именно посмотрим на граф

$H' = G[V \setminus \{x\}]$. Случай не двусвязного H' разобран в начале доказательства. Если же H' двусвязен, то по предположению индукции в нем найдутся две непересекающиеся стягиваемые пары; рассмотрим такую из них, которая не содержит x и назовем ее uv . Тогда xu и uv — искомые непересекающиеся стягиваемые пары в G . Доказательства утверждения 2 и теоремы 2 закончены.

4 Взвешенные дистанционно-наследуемые графы

По аналогии с теоремой 1 определим класс взвешенных дистанционно-наследуемых графов как класс взвешенно-стабильных графов. Покажем, что данное определение естественно. По лемме 5 носитель взвешенного дистанционно-наследуемого графа является дистанционно-наследуемым графом. Далее, покажем, что наше определение совпадает еще с одним алгебраическим определением, данным в статье [6].

Обозначим ранг матрицы M через $\text{rk}(M)$. Пусть дан взвешенный граф G , и его матрица смежности — M_G ; для произвольных подмножеств $A, B \in V(G)$ определим $\text{rk}_G(A, B) := \text{rk}(M_G[A, B])$, где $M[A, B]$ — подматрица, с множеством столбцов, соответствующим A и множеством строк, соответствующим B .

Положим $\text{cutrk}(A) = \text{rk}_G(A, V(G) \setminus A)$; ясно что $\text{cutrk}(A) = \text{cutrk}(V(G) \setminus A)$, так как матрица M_G является симметричной.

Рассмотрим произвольное дерево T , у которого висячими вершинами являются в точности вершины G , а все остальные вершины имеют степень 3. Любое ребро этого дерева e задает разбиение вершин G на два множества $A(e)$ и $B(e)$, соответствующие компонентам связности в $T \setminus e$. Определим *ширину ребра* e как $\text{cutrk}(A(e)) = \text{cutrk}(B(e))$. Назовем *шириной графа* минимум по всем деревьям T максимальной ширины ребра в нем.

В статье [6] показано, что класс графов (не взвешенных, т.е. в которых все веса равны 1) с шириной 1 совпадает с дистанционно-наследуемыми.

Теорема 3. *Класс взвешенных дистанционно-наследуемых графов совпадают с классом взвешенных графов с шириной 1.*

Доказательство. Везде далее считаем, что во всех графах хотя бы 3 вершины, и граф связан. Отметим, что ширина связного графа не меньше, чем 1 (иначе существует разбиение его вершин на 2 множества, между которыми нет ребер).

В одну сторону. Пусть дан взвешенно-стабильный граф. Покажем, что он ширины 1. Для этого нужно предъявить дерево, в котором ширины всех ребер равны 1. Будем строить его по индукции по $n = |V|$.

Базой являются случаи $n \leq 3$. Если в графе не больше 3 вершин, то дерево всего одно и оно подходит, потому что в любом разбиении хотя бы одна из долей имеет размер не более 1, а значит ранг не больше 1.

Переход. В графе G хотя бы четыре вершины, значит по теореме 2 взвешенно-стабильный граф G либо недвусвязен, либо содержит стягиваемую пару.

Недвусвязный случай. В этом случае G содержит точку сочленения u , то есть $G[V \setminus u]$ распадается на компоненты связности A_1, \dots, A_k . Пусть $H_1 = G[A_1 \cup u]$, $H_2 = G[V \setminus A_1]$. По утверждению 1 (iii) H_1, H_2 — взвешенно-стабильные графы с меньшим числом вершин, значит существуют T_1, T_2 , реализующие ширину 1. Рассмотрим $T = T_1 \cup T_2$. Это дерево, в котором висячие вершины — в точности вершины графа G кроме u , и степени всех вершин, кроме u равны 3 или 1, а вершина u имеет степень 2. Назовем нынешнюю вершину u вершиной v , и повесим на нее вершину u (получилось дерево T'). Теперь все степени 3 или 1, и висячие вершины это вершины G . Осталось проверить, что T' имеет ширину 1. Действительно, пусть e — ребро в T' , по определению $E(T') = E(T_1) \cup E(T_2) \cup \{uv\}$. Ширина ребра uv равна 1, потому что размер одной из долей разбиения равен 1. Пусть e является ребром T_i , не умаляя общности, $i = 1$. Значит ребро e разбивает вершины G на два множества, одно из которых ($A = A(e)$) целиком лежит в $H_1 \setminus u$. Тогда

$$\text{cutrk}_G(e) = \text{rk}(M_G[A, G \setminus A]) = \text{rk}(M_G[A, H_1 \setminus A]),$$

потому что эти матрицы отличаются на несколько нулевых строчек. С другой стороны

$$\text{rk}(M_G[A, H_1 \setminus A]) = \text{rk}(M_{H_1}[A, H_1 \setminus A]) = \text{cutrk}_{H_1}(e) = 1$$

по предположению индукции. Значит ширина e равна 1 для любого ребра e , то есть ширина T' равна 1.

В двусвязном случае граф G получен копированием некоторой вершины u из графа G_1 , то есть в графе G есть вершины u, u_1 , являющиеся стягиваемой парой (иными словами $G_1 = G[V \setminus u_1]$). Поскольку G_1 — взвешенно-стабильный, существует дерево T_1 , реализующее ширину 1. Рассмотрим его висячую вершину, соответствующую u , пусть ее единственный сосед z . Удалим из T_1 ребро uz и добавим вершину v вместе с ребрами vz, vu, vu_1 ; назовем полученное дерево T . Теперь висячими вершинами T являются в точности вершины G , а степени остальных вершин равны 3. Осталось проверить, что у T ширина 1. Рассмотрим произвольное ребро из T ; это или ребро vu , или vu_1 , или ребро из T_1 . Для первых двух случаев очевидно, что их ширина 1, потому что одна из долей разбиения имеет размер 1. Пусть теперь это ребро из T_1 . Оно разбивает множество вершин G на два, одно из которых ($A = A(e)$) не содержит вершин u, u_1 (потому что e не принадлежит пути между u и u_1 в T). Имеем

$$\text{cutrk}_G = \text{rk}(M_G[A, G \setminus A]) = \text{rk}(M_G[A, G_1 \setminus A]),$$

так как столбец, соответствующий вершине u_1 , пропорционален столбцу, соответствующему u в силу стягиваемости пары uu_1 (то есть нули расположены в одних и тех же строчках, а отношения ненулевых значений равны, по определению стягиваемой пары). При этом

$$\text{rk}(M_G[A, G_1 \setminus A]) = \text{rk}(M_{G_1}[A, G_1 \setminus A]) = \text{cutrk}_{G_1}(e) = 1.$$

Значит и ширина дерева T равна 1.

В другую сторону. Покажем, что взвешенный граф ширины 1 является взвешенно дистанционно-наследуемым. Проведем доказательство по индукции по числу вершин.

База. Если в графе не больше 3 вершин, то он всегда взвешенный дистанционно-наследуемый.

Переход. Пусть дан граф взвешенный G и дерево T со степенями 3 и 1 и имеющее ширину 1. Дерево T содержит вершину v , на которой висят ровно две вершины u и u_1 . Утверждается, что эти вершины образуют стягиваемую пару. В самом деле, рассмотрим разбиение по третьему ребру из $e = vz$. Части этого разбиения $A(e) = \{u, u_1\}$, $B(e) = V(G) \setminus \{u, u_1\}$. По определению T ширина e равна 1, то есть вектора $a_i = w(uv_i)$ и $b_i = w(u_1v_i)$ пропорциональны. Если коэффициент пропорциональности равен нулю, то одна из вершин u, u_1 не имеет в графе G соседей вне множества u, u_1 . Если же коэффициент пропорциональности ненулевой, то $w(uv_i) = 0$ тогда и только тогда, когда $w(u_1v_i) = 0$, а для не нулевых весов значение $\frac{w(uv_i)}{w(u_1v_i)}$ не зависит от выбора $v_i \in B(e)$.

Значит в паре u, u_1 либо одна из вершин висячая и висит на другой (не умаляя общности, u_1 висит на u), либо они образуют стягиваемую пару. Теперь рассмотрим граф $G \setminus u_1$ найдем для него дерево с шириной 1. Для этого заменим в дереве T вершины v, u, u_1 со всеми инцидентными ребрами на одну вершину u с ребром uz ; назовем полученное дерево T' . Заметим, что разбиения множества $V \setminus \{u_1\}$, задаваемые деревом T' получаются из разбиений множества V деревом T удалением вершины u_1 . Значит ширина каждого разбиения 1, и у дерева T' ширина 1. Следовательно граф $G[V \setminus u_1]$ имеет взвешенную ширину 1; он взвешенный дистанционно-наследуемый по предположению индукции, а граф G был получен из него копированием вершины или добавлением висячей. По теореме 2 G — взвешенный дистанционно-наследуемый граф. \square

5 Заключение

Центральная теорема 2 дает явную характеристику взвешенных вещественно стабильных графов. Аналогично невзвешенному случаю, из теоремы 2 и лемм 2 и 3 следует, что степенной перечислитель взвешенного стабильного графа раскладывается на линейные множители.

Полученный результат позволяет определить класс взвешенных дистанционно-наследуемых графов как графы. Оказывается, что такое определение соответствует естественному обобщению другого алгебраического определения [6].

Напомним, что связанные открытые вопросы можно найти в статье [3].

Благодарности. Авторы благодарны Федору Петрову за внимание к работе. Работа Данилы Черкашина поддержана грантом Российского научного фонда номер 22-11-00131.

Список литературы

- [1] Hans-Jürgen Bandelt and Henry Martyn Mulder. Distance-hereditary graphs. *Journal of Combinatorial Theory, Series B*, 41(2):182–208, 1986.
- [2] Andreas Brandstädt, Van Bang Le, and Jeremy P. Spinrad. *Graph classes: a survey*. SIAM, 1999.
- [3] Danila Cherkashin, Fedor Petrov, and Pavel Prozorov. On stability of spanning tree degree enumerators. *Discrete Mathematics*, 346(12):113629, 2023.
- [4] Young-Bin Choe, James G. Oxley, Alan D. Sokal, and David G. Wagner. Homogeneous multivariate polynomials with the half-plane property. *Advances in Applied Mathematics*, 32(1-2):88–187, 2004.
- [5] Péter Csikvári and Ádám Schweitzer. A short survey on stable polynomials, orientations and matchings. *Acta Mathematica Hungarica*, 166(1):1–16, 2022.
- [6] Sang-il Oum. Rank-width and vertex-minors. *Journal of Combinatorial Theory, Series B*, 95(1):79–100, 2005.
- [7] David Wagner. Multivariate stable polynomials: theory and applications. *Bulletin of the American Mathematical Society*, 48(1):53–84, 2011.